

## 波状水路における流れ

京都大学工学部 正員 岩佐義朗

これは、波形管ならびに波状水路の流れについて過去数々年間 MIT で行なわれ、また今後 University of Iowa で行なわれる実験の理論的説明をするための一次元解析法による解析のうち波状水路のそれについて述べたものである。

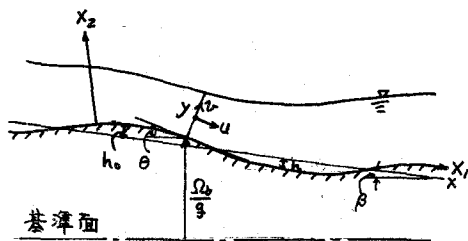
この種の解析には、古典流体力学的方法による Lamb, Milne-Thomson, Kennedy および Reynolds の研究、一次元解析法による Boussinesq, Massé, 岩佐, Engelund and Hansen, Exner, Reynolds のもの、また境界層理論を適用した Madsen, Miles, Brooke-Benjamin のものがある。ここでは、研究対象がいわゆる水理学の領域に限られるところから、一次元解析法を適用して取り扱って行なう。

いま、エネルギー解析法を用ひ、エネルギー係数、圧力分布係数を一定とするとき、その基本式は

$$Q = u_0 y = \text{const.}$$

$$\frac{dx_1}{ds} = \cos \theta + \frac{Q^2}{g y^3} \left\{ -\alpha_1 + \alpha_2 \left[ y \frac{d^2 y}{dx_1^2} - \left( \frac{dy}{dx_1} \right)^2 \right] + \lambda_1 k y - \lambda_2 \left[ 3y \frac{d^3 y}{dx_1^3} - 2 \left( \frac{dy}{dx_1} \right)^2 \right] - \lambda_3 \left[ 2k y^2 \frac{d^2 y}{dx_1^2} - k y \left( \frac{dy}{dx_1} \right)^2 + y^2 \frac{dy}{dx_1} \frac{dk}{dx_1} + y^3 \frac{d^3 k}{dx_1^3} \right] \right\}$$

$$\frac{dy}{ds} = (1 + k y) \sin \theta - \frac{f Q^2}{g y^3} + \frac{Q^2}{g y^3} \left\{ \lambda_1 y^2 \frac{dk}{dx_1} - \lambda_2 y^2 \frac{d^3 y}{dx_1^3} + \lambda_3 y^3 \frac{d^3 k}{dx_1^3} \right\}$$



である。ここに、 $\alpha_1$ : 従来より用ひられる一方向流のエネルギー係数、 $\alpha_2$ : 運動エネルギーーフラックスに対する  $x_2$  方向成分によるもの、 $\lambda_1$ : 遠心力によって表わされる圧力分布係数、 $\lambda_2, \lambda_3$ :  $x_2$  方向の加速度と水路底の曲率による分布係数、 $k$ : 水路底の曲率である。

水路底とこれと直角上向きの両方向に代表長をとり、上式のオーダーを比較すると波状水路の波高と波長との比、すなわち steepness によって上式は種々の近似式がえられ、0 次は一様水路における等流、1 次は水路底の変わらざる渐变流、2 次は水路底の曲りによる効果を導入した流れ、3 次は鉛直加速度を含む流れ、4 次はこれらすべてを考慮した水面こう配の大さいものに相当することが示される。

### (1) 波状水路の流れの線型解

波状水路が正弦的であり、その steepness がさわめて小さいとき、水路の幾何学的形状は  $x_1 \rightarrow x$ 、 $\sin \theta \rightarrow \sin \beta = \cos \beta (dh/dx)$ 、 $\cos \theta \rightarrow \cos \beta$ 、 $k \rightarrow -\cos \beta (d^2 h/dx^2)$  によって近似される。ここに、 $h$  は水路底の波状のもう葉度である。この場合、何らかの平

均水深  $y_0$  に対する水面の振動は線型化した条件のもとではつまようじに示される。

近似度	線型化方程式	位相差 ( $\tan \phi$ )	振幅比 ( $y_{10}/h_0$ )
1 次 $(\frac{y_0}{L})^2 \ll 1$	$(\alpha_1 F_0^2 - 1) \frac{d^2 \eta_1}{dt^2} + P \eta_1 = R \frac{d^3 \delta}{dt^3}$ + $\frac{d \delta}{dt}$	$\frac{f_0 \mu F_0^2 (F_0^2 - \frac{\mu^2 - 3}{\alpha_1 \mu^2})}{8 (F_0^2 - \frac{1}{\alpha_1} - \frac{3 f_0^2 F_0^4}{64 \alpha_1})}$	$\mu \sqrt{1 + \frac{f_0^2 \mu^2}{64} F_0^2}$ $\sqrt{\alpha_1^2 \mu^2 (F_0^2 - \frac{1}{\alpha_1})^2 + \frac{9 f_0^2 F_0^4}{64}}$
2 次 $(\frac{y_0}{L})^3 \ll 1$	$(\alpha_1 F_0^2 - 1) \frac{d^2 \eta_1}{dt^2} + P \eta_1 = R \frac{d^3 \delta}{dt^3}$ + $\frac{d \delta}{dt} + \lambda_1 F_0^2 \cos \beta \frac{d^3 \delta}{dt^3}$	$- f_0 F_0^2 (3\lambda_1 - \alpha_1) [F_0^2 + \frac{\mu^2 - 3}{\mu^2 (3\lambda_1 - \alpha_1)}]$ $- 8\alpha_1 \lambda_1 \mu [(F_0^2 - \frac{1}{\alpha_1}) (F_0^2 - \frac{1}{\lambda_1 \mu^2}) + \frac{3 f_0^2 F_0^4}{64 \alpha_1 \lambda_1 \mu^2}]$	$\mu \sqrt{\lambda_1 \mu^4 (F_0^2 - \frac{1}{\lambda_1 \mu^2})^2 + \frac{\mu^2 f_0^2 F_0^4}{64}}$ $\sqrt{\alpha_1^2 \mu^2 (F_0^2 - \frac{1}{\alpha_1})^2 + \frac{9 f_0^2 F_0^4}{64}}$
3 次 $(\frac{y_0}{L})^4 \ll 1$	$(\alpha_1 F_0^2 - 1) \frac{d^2 \eta_1}{dt^2} + P \eta_1 - \lambda_2 F_0^2 \frac{d^3 \eta_1}{dt^3} = R \frac{d^3 \delta}{dt^3} + \lambda_1 F_0^2 \cos \beta \frac{d^3 \delta}{dt^3}$	$\frac{f_0 F_0^2}{8} \left\{ 3 + \mu^2 [(\alpha_1 - 3\lambda_1) F_0^2 - 1] + \lambda_2 \mu^4 F_0^2 \right\}$ $- \mu \left\{ [(\alpha_1 + \lambda_2 \mu^2) F_0^2 - 1] [\lambda_1 \mu^2 F_0^2 - 1] + \frac{3 f_0^2 F_0^4}{64} \right\}$	$\mu \sqrt{\lambda_1 \mu^4 (F_0^2 - \frac{1}{\lambda_1 \mu^2})^2 + \frac{\mu^2 f_0^2 F_0^4}{64}}$ $\sqrt{\mu^2 [(\alpha_1 + \lambda_2 \mu^2) F_0^2 - 1]^2 + \frac{9 f_0^2 F_0^4}{64}}$
Boussinesq	$(\alpha_1 F_0^2 - 1) \frac{d^2 \eta_1}{dt^2} + \frac{3}{8} c f_0 F_0^2 \eta_1 - \lambda_2 F_0^2 \frac{d^3 \eta_1}{dt^3} = \alpha_1 F_0^2 \frac{d \delta}{dt} + \frac{F_0^2}{8} \frac{d^3 \delta}{dt^3} + \frac{3}{8} c f_0 F_0^2 \delta$ $c \approx 1.1$	$\frac{4 \mu (2 - \mu^2 F_0^2)}{3 c f_0 \left\{ F_0^2 + \frac{32 \mu^2}{81 c^2 f_0^2} [F_0^2 (18 \alpha_1^2 + 3 \alpha_1 \mu^2 - \mu^4) - 18 \alpha_1 + 3 \mu^2] \right\}}$	$\sqrt{1 + \frac{16}{81 c^2 f_0^2} \mu^2 (6 \alpha_1 - \mu^2)^2}$ $\sqrt{1 + \frac{64 \mu^2}{81 c^2 f_0^2 F_0^4} [(3 \alpha_1 + \mu^2) F_0^2 - 3]^2}$
Engelund and Hansen	$(\alpha_1 F_0^2 - 1) \frac{d^2 \eta_1}{dt^2} + \frac{3}{8} f_0 F_0^2 \eta_1 - (\lambda_2 + 0.072 \sqrt{\frac{f_0}{8}}) F_0^2 \frac{d^3 \eta_1}{dt^3} = \frac{d \delta}{dt} + \lambda_1 F_0^2 \frac{d \delta}{dt}$	$\frac{3 f_0 F_0}{8 \mu [(1 + A \mu^2) F_0^2 - 1]}$ $A = \frac{1}{3} + 0.072 \sqrt{\frac{f_0}{8}}$	$\frac{\mu^2 F_0^2}{2} - 1$ $\sqrt{[(1 + A \mu^2) F_0^2 - 1]^2 + \frac{9 f_0^2 F_0^4}{64 \mu^2}}$
Potential Flow		$\phi = \begin{cases} \pi & F_0 < 1 \\ 0 & F_0 > 1 \end{cases}$	$\frac{\mu^2 F_0^2 (\cosh \mu - 1) + \sinh \mu}{\mu^2 F_0^2 \cosh \mu - \sinh \mu}$

$$z = L, \quad \eta_1 = y_1/y_0, \quad \sigma = x/y_0, \quad \delta = h/y_0, \quad P = (f_0 F_0^2/\delta) [3 - (y_0/f_0)(\sigma f_0^2/y_0)], \quad R = f_0 F_0^2 \cos \beta / \delta, \quad \mu = 2\pi y_0/L, \quad L: \text{波長}$$

この解は 1 次と 2 次の Potential Flow の解に近く、3 次から Boussinesq や Engelund および Hansen のそれと類似している。詳細図は当日示す。

## (2) 波状水路の流れの非線型解

線型解によって水路底と自由表面との位相差や振幅比は解析されたが、その最大の欠陥は線型化によって実際にはしばみられる波状水路上の流れにあらわれる跳水を示すことができないことがある。これは非線型解によって示される。計算によれば、1 次よりも 2 次で大幅現象が説明される。ただし、計算は IBM-1620 不足で -7090 によるため、詳細には計算工場で定性的性格の解析にとどまっている。当日までの図を紹介する。